



# БИООРГАНИЧЕСКАЯ ХИМИЯ

том 13 \* № 9 \* 1987

УДК 577(214.625+217.52):577.413.6

## ДУПЛИКАЦИЯ СИНТЕТИЧЕСКОГО ГЕНА ЛЕЙКОЦИТАРНОГО ИНТЕРФЕРОНА ЧЕЛОВЕКА И ЕГО ЭКСПРЕССИЯ В СОСТАВЕ ПОЛИЦИСТРОННЫХ мРНК С СОПРЯЖЕННОЙ СИСТЕМОЙ ТРАНСЛЯЦИИ

**Кравченко В. В., Гилева Н. П., Шамин В. В.,  
Куличков В. А., Добринин В. Н.\*, Филиппов С. А.\*,  
Чувшило С. А.\*; Коробко В. Г.\***

*Всесоюзный научно-исследовательский институт молекулярной биологии,  
пос. Кольцово Новосибирской обл.;*

*\* Институт биоорганической химии им. М. М. Шемякина Академии наук СССР,  
Москва*

С помощью химически синтезированного адаптера осуществлена дупликация структурной части синтетического гена интерферона (*ifn-α2*). Структура адаптера выбрана таким образом, чтобы терминатор трансляции первого гена (TAA) входил в состав последовательности сайта SD (TAAGGA) второго гена и находился на расстоянии 11 п. о. от нового старта трансляции. В другом случае терминатор второго гена был расположен на расстоянии 69 п. о. от района инициации трансляции второго гена, имеющего тот же участок SD. Исследование экспрессии таких бицистронов в составе полицистронных мРНК, инициируемых с промоторами  $P_{lac}$  ( $P_{trp}$ )<sub>2</sub> и  $P_{trp}$  бактериофага M13. Найдено, что в клетках *E. coli* бицистроны гена *ifn-α2* под контролем ( $P_{trp}$ )<sub>2</sub> и  $P_{trp}$  в полицистронах *trp L-ifn-ifn* и *IX-VIII-ifn-ifn*, имеющих сопряженную систему трансляции всех генов, обеспечивают высокий уровень синтеза интерферона  $α2$  в отличие от бицистрона под контролем  $P_{lac}$ , в котором сопряжение есть только между генами *ifn-α2*.

Одним из способов оптимизации экспрессии генов является изменение дозы гена. Эффект дозы гена заключается в том, что увеличение в клетке количества копий определенного гена вызывает повышение уровня синтеза его продукта [1]. Этот принцип применяют при создании продуцентов биологически активных веществ, клонируя соответствующие гены в многокопийных векторах на основе плазмид или бактериофагов  $λ$  и M13. Известны также примеры клонирования tandemных дупликаций фрагментов и полных генов в многокопийных векторах с целью увеличения выхода продукта клонированного гена [2, 3]. В случае клонирования двух, трех и четырех копий гена *ifn-α8*, отстоящих друг от друга в таких гомополицистронах на расстояние ~600 п.о., наблюдали пропорциональное увеличение синтеза продукта по сравнению с моноцистронным вариантом [3]. В приведенном выше примере tandemные дупликации гена *ifn-α8* входят в состав одной полицистронной матрицы. В то же время их трансляция происходит, но-видимому, независимо, поскольку известно [4], что при расстоянии между генами уже в 176 п.о. эффект сопряжения значительно ослаблен.

С другой стороны, недавно было показано [5, 6], что в экспрессионных системах полицистронного типа, имеющих сцепленную или сопряженную систему трансляции, удается значительно увеличить уровень синтеза клонированного гена по сравнению с другими генами такого искусственного полицистрона [5]. В связи с этим представляло интерес исследовать возможности применения полицистронной системы со сцепленной трансляцией в сочетании с клонированием повторяющихся генов.

Для изучения экспрессии полицистронов, имеющих сцепленную систему трансляции, в настоящей работе в качестве модели выбран синтетиче-

Сокращения: SD – участок связывания рибосомы, п.о.– пара оснований, IFN – интерферон, *ifn* – ген интерферона.

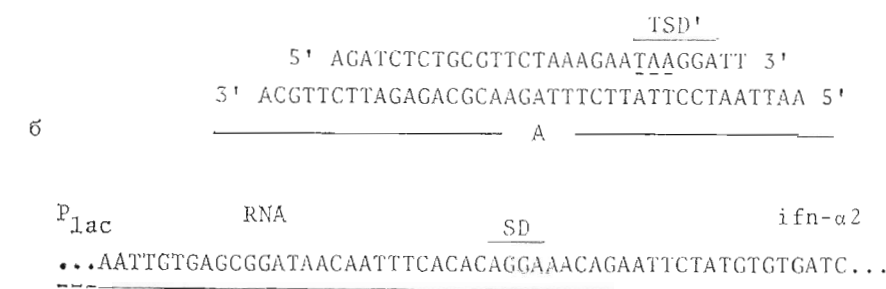
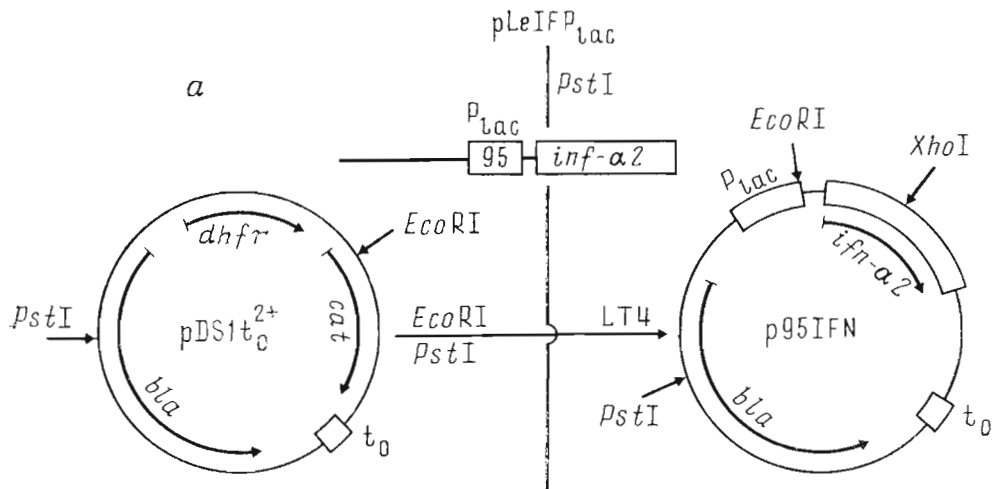


Рис. 1. Плазмида p95IFN. а – схема получения плазмиды p95IFN. *PstI*, *EcoRI*, *XbaI* – расщепление соответствующей рестриктазой; LT4 – спивка ДНК-лигазой фага T4 и трансформация клеток *E. coli*; *P<sub>lac</sub>* – промотор гена β-галактозидазы *E. coli*, содержащий мутацию UV5 в составе фрагмента ДНК длиной 95 п.о.; А – химически синтезированный адаптер. Физическая карта плазмиды pLeIF(P<sub>lac</sub>) описана в работе [7]. Нуклеотидные последовательности верхней цепи адаптера А, соответствующие терминатору трансляции гена *ifn-α2* и участку SD, подчеркнуты прерывистой и сплошной линиями соответственно и обозначены TSD'. Другие обозначения даны по работе [8]. Указаны только те рестриктные сайты, которые использовались при клонировании и анализе структуры. б – частичная нуклеотидная последовательность верхней цепи ДНК p95IFN в окрестности стыка промотора *P<sub>lac</sub>* (подчеркнута снизу) с началом синтетического гена *ifn-α2*. Участок SD подчеркнут сверху. Стрелками отмечены старты транскрипции и трансляции искусственного оперона

ский ген лейкоцитарного интерферона человека (*ifn-α2*). В начале этого гена перед кодоном ATG расположен сайт расщепления рестриктазы *EcoRI*, а в структурной части на расстоянии 26 п.о. от терминирующего кодона имеется сайт *PstI* [5, 7]. Это обстоятельство было использовано для получения искусственного тандема генов *ifn-α2*. С этой целью был химически синтезирован *PstI/EcoRI*-адаптер, с помощью которого сначала была сконструирована плазмида p95IFN, как показано на рис. 1. Структуру рекомбинантной плазмиды p95IFN подтверждала с помощью рестрикционного анализа и прямым секвенированием района ДНК, расположенного по обе стороны от места расщепления рестриктазой *XbaI*. Найдено, что структура ДНК p95IFN в окрестности синтетического гена *ifn-α2* полностью совпадает со структурой соответствующего района ДНК p381IFN [6], за исключением участка в области начала гена *ifn-α2* (см. рис. 1б).

Для получения тандема искусственных генов *ifn-α2* использовали *PstI/EcoRI*-векторные части ДНК p95IFN (см. рис. 1) и p381IFN [6], в которые в присутствии синтетического *PstI/EcoRI*-адаптера (структура адаптера показана на рис. 1а) встраивали *ifn*-содержащие *PstI*-фрагменты ДНК pIF6/8 [5] и pLeIF(P<sub>lac</sub>) [7] получали по схеме, аналогичной

конструированию плазмиды p95IFN (см. рис. 1 и «Экспериментальную часть»). Рестрикционные и генетические карты полученных таким способом плазмид p95/2IFN, p381/2IFN и p381/2IFN' приведены на рис. 2. Структуры этих рекомбинантных плазмид подтверждены рестрикционным

анализом с помощью эндонуклеаз *Bsp*I, *Eco*RI, *Xba*I и *Pst*I, а также путем секвенирования ДНК в области встройки искусственных генов *ifn-α2*. Результаты этих анализов суммированы на рис. 3. Можно видеть (см. рис. 2 и 3), что все три плазмиды содержат tandem искусственного гена *ifn-α2*, причем структуры межгенные районов у ДНК p95/2IFN и p381/2IFN идентичны, а области в начале гомобицистронов различаются. Эти различия заключаются в том, что tandem генов *ifn-α2* в плазмиде p381/2IFN входит в состав искусственного полицистрона из последовательно расположенных генов IX-VIII-*ifn-α2*-*ifn*, находящихся под контролем промотора *P<sub>VIII</sub>* бактериофага M13, а в плазмиде p95/2IFN гены *ifn-α2* организованы в бицистрон, транскрипция которого инициируется с промотора *P<sub>lac</sub>* (см. рис. 3). Плазмиды p381/2IFN и p381/2IFN' полностью идентичны, за исключением области стыка двух генов *ifn-α2* (см. рис. 3).

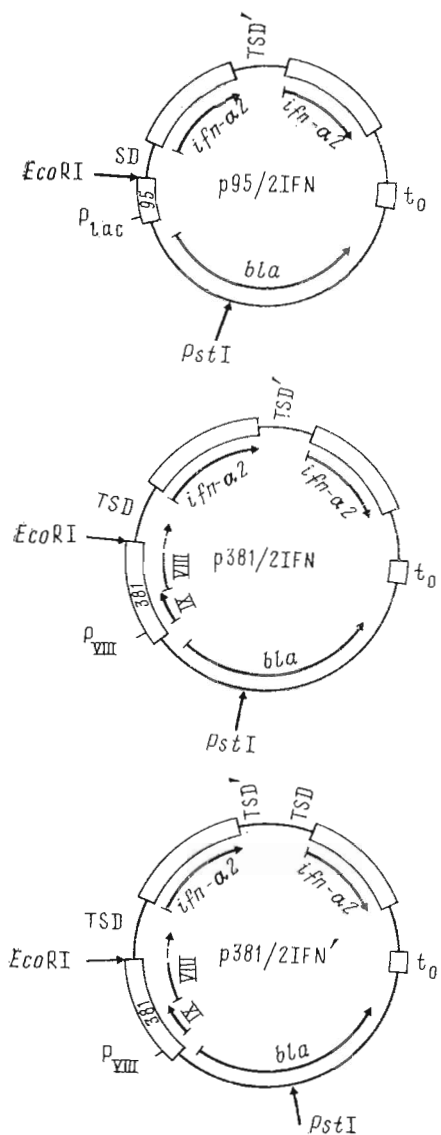


Рис. 2. Схемы плазмид p95/2IFN, p381/2IFN и p381/2IFN' (способ их конструирования см. в «Экспериментальной части»). TSD — участок терминации транскрипции предшествующего гену *ifn-α2* цистрона VIII и сайт SD. Структура TSD идентична аналогичному району в окрестности начала синтетического гена интерферона у ДНК pIF6/8 [5] и p381IFN [6]. Остальные обозначения см. в работе [6] и в подписях к рис. 1

Экспрессия интерферона, направляемая этими плазмидами, происходит, по-видимому, с полицистронных матриц, структурная организация которых показана на рис. 3.

Таким образом, нами получена серия рекомбинантных плазмид, содержащих дупликацию искусственного гена *ifn-α2* (см. рис. 2-4). Транс-

p95/2 IFN

SD  
—AGGA—11—ATG—i fn—TAAAGGA—8—ATG—i fn—  
TSD'

p381/2 IFN

SD  
—IX—ATGA—VIII—TAAGGA—8—ATG—i fn—TAAGGA—8—ATG—i fn—  
TSD'

p381/2 IFN'

SD  
—IX—ATGA—VIII—TAAGGA—8—ATG—i fn—TAAGGA—10—ATG—orf13—TAAGGA—8—ATG—i fn—  
TSD'  
trpL—TAAGGA—8—ATG—i fn—TAAGGA—8—ATG—i fn—  
TSD'

p280/2 IFN'

SD  
trpL—TAAGGA—8—ATC—i fn—TAAGGA—10—ATG—orf13—TAAGGA—8—ATG—i fn—  
TSD'

Рис. 3. Структурно-функциональная организация сигналов трансляции гипермутантного гена *ifn-α2* в составе бы- и полицистронных оперонов, содержащихся в рекомбинантных плазмидах. Трансляционные терминаторы и участок SD подчеркнуты сплошной линией и сверху соответствующим и обозначены TSD и TSD' (см. подписи к рис. 1 и 2). Цифрами указано расстояние в нуклеотидах остатках между соответствующими трансляционными сигналами *orf* — пукклюстрическая последовательность с открытой рамкой считывания при транслиации при геноме *E. coli* [6, 10]; L — часть гена лидерного peptide триптофанового оперона *E. coli* [6, 10].

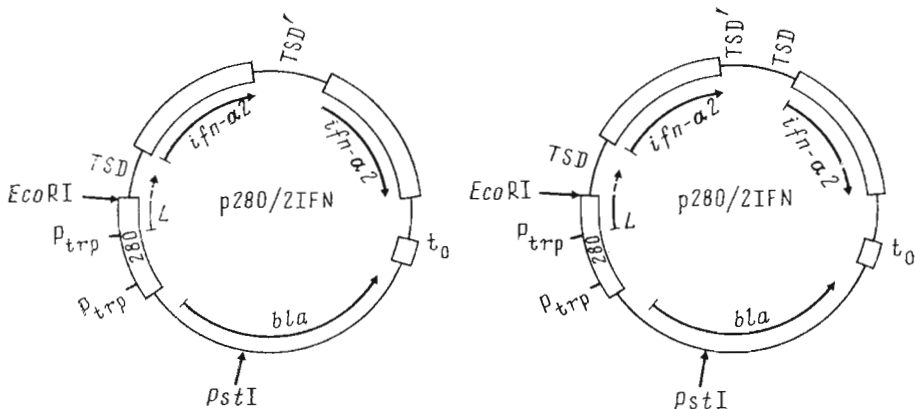


Рис. 4. Схемы плазмид p280/2IFN и p280/2IFN'. P<sub>trp</sub> и L – промотор и часть гена лидерного пептида триптофанового оперона *E. coli* соответственно [6, 10]. Остальные обозначения см. в подписях к рис. 2

Крипция тандемных генов интерферона в этих плазмидах контролируется промоторами P<sub>lac</sub> (плазмида p95/2IFN), P<sub>VIII</sub> (плазмиды p381/2IFN и p381/2IFN') и P<sub>trp</sub> (плазмиды p280/2IFN и p381/2IFN'). На основании наших данных [6] и результатов работы [11] эти промоторы по убывающей силе можно расположить в следующий ряд: P<sub>trp</sub>, P<sub>lac</sub> и P<sub>VIII</sub>. Поэтому можно было ожидать аналогичную картину для уровней синтеза интерферона в соответствующих плазмидосодержащих клетках *E. coli*. Однако, как видно из результатов электрофоретического анализа суммарных белков в лизатах плазмидосодержащих клеток, плазмида p95/2IFN (промотор P<sub>lac</sub>) практически не обеспечивает синтеза интерферона, по крайней мере его количество значительно меньше, чем в моновариантах гена ifn- $\alpha$ 2 (ср. на рис. 5а дорожки 1–4 и 9, 10). Низкий уровень синтеза интерферона в p95/2IFN-содержащих клетках свидетельствует о том, что сигнал инициации трансляции, расположенный между двумя генами ifn- $\alpha$ 2 (см. рис. 3), функционирует только при условии эффективной трансляции предыдущего цистрона. Аналогичные эффекты наблюдались также в природных полицистронах, в частности в триптофановом [12] и рибосомальных [13, 14] оперонах.

В противоположность p95/2IFN-содержащим клеткам плазмиды серий 381 и 280 обеспечивают в клетках *E. coli* очень высокий уровень синтеза интерферона (см. рис. 5а и б). Путем денситометрирования соответствующих дорожек гелей было установлено, что уровень синтеза интерферона в клетках *E. coli* с плазмидами p381/2IFN и p381/2IFN' составляет ~30% суммы клеточных белков, а в случае плазмид p280/2IFN и p280/2IFN' этот уровень увеличивается до 70%. Необходимо отметить, что количество интерферона, синтезируемого в клетках *E. coli* с плазмидами p381/2IFN и p381/2IFN', в 3–4 раза выше, чем в клетках, несущих плазмиды p381IFN и pIF6/8 с одной копией синтетического гена ifn- $\alpha$ 2 (см. таблицу, «Экспериментальную часть» и [6]). Плазмиды p280/2IFN и p280/2IFN' (обе содержат бицистрон ifn- $\alpha$ 2, см. рис. 3, 4) по сравнению с моноцистронным вариантом искусственного гена ifn- $\alpha$ 2 (плазмида p280IFN [6]), который обеспечивает синтез интерферона на уровне ~30% от суммарного клеточного белка [6], также дают более чем двухкратное увеличение выхода интерферона (см. таблицу, «Экспериментальную часть» и [6]). Наблюдавшийся в клетках *E. coli* уровень экспрессии искусственного гена ifn- $\alpha$ 2, детерминируемый плазмидами p381/2IFN, p381/2IFN', p280/2IFN и p280/2IFN' (см. рис. 5), значительно превышает все известные примеры экспрессии природных и синтетических генов лейкоцитарного [3, 5, 6, 15, 16], фибробластного [17] и иммунного [18] интерферонов человека.

Итак, из совокупности представленных в работе данных следует, что предложенный нами ранее способ экспрессии генов в составе полицистрон-

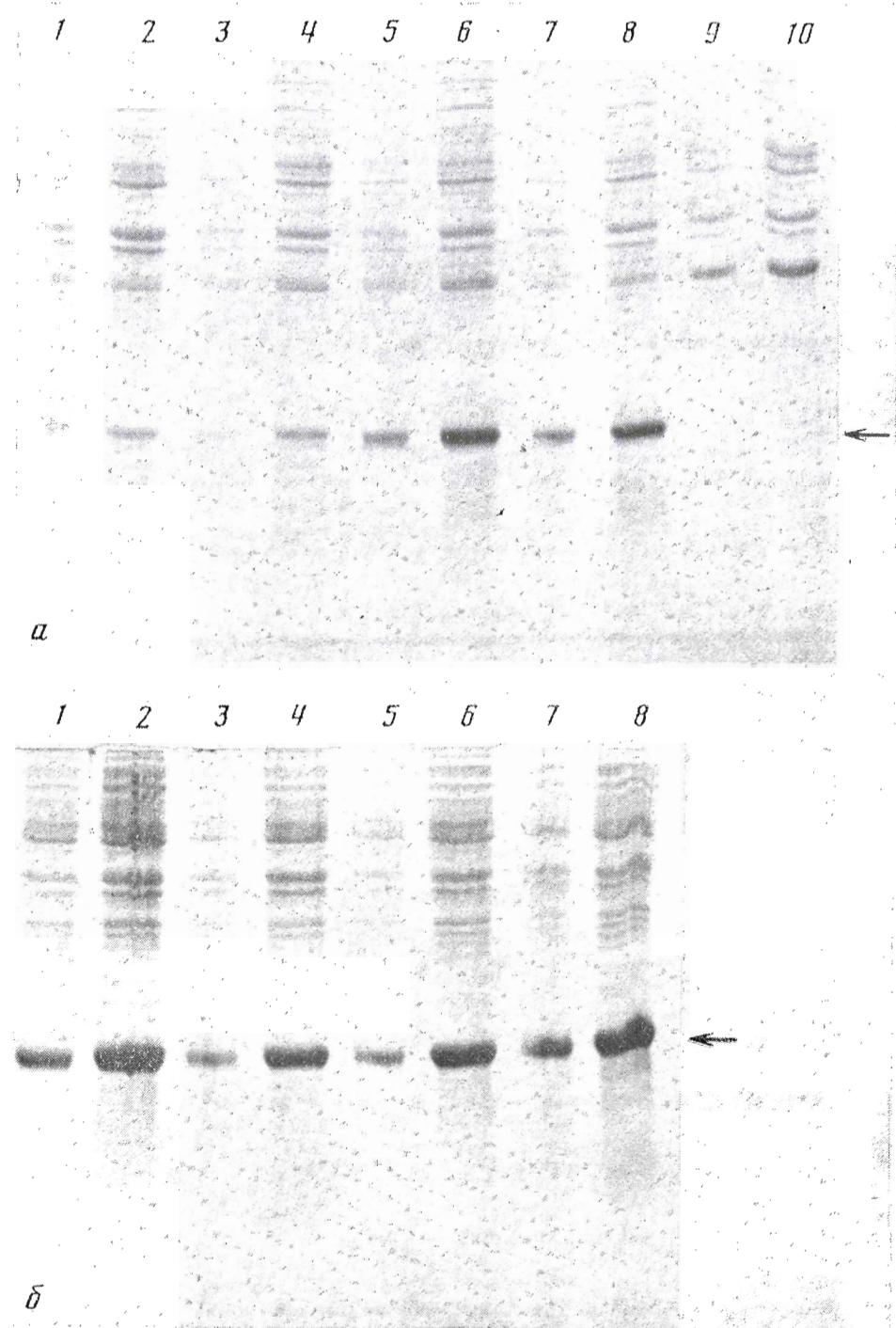


Рис. 5. Результаты электрофоретического разделения плазмидосодержащих клеточных лизатов в 12,5% ПААГ. *а* — лизаты клеток, несущих плазмиды pIF6/8 (1 и 2), p381/1IFN (3 и 4), p381/2IFN (5 и 6), p381/2IFN' (7 и 8) и p95/2IFN (9 и 10). *б* — лизаты клеток, несущих плазмиды p280/2IFN (1—4) и p280/1IFN' (5—8). Пробы 1, 2, 5 и 6 приготовлены из плазмидосодержащих клеток, выращенных в стандартных условиях, но в присутствии  $\beta$ -индолилакриловой кислоты (20 мкг/мл). Электрофорезу подвергали 2 мкл (нечетные дорожки) и 5 мкл (четные дорожки) клеточных лизатов, приготовленных как указано в «Экспер. части». Положение белковых полос на геле выявляли с помощью красителя кумасси ярко-синего R-250

**Относительные уровни синтеза интерферона в клетках *E. coli*, содержащих плазмида с одной и двумя копиями гена *i/n-α2***

Плазмида	Промотор	Количество копий гена <i>i/n-α2</i>	Относительное содержание интерферона *
p1F6/8	P <sub>VIII</sub>	1	1
p381IFN	P <sub>VIII</sub>	1	1
p280IFN	(P <sub>trp</sub> ) <sub>2</sub>	1	3,1
p381/2IFN	P <sub>VIII</sub>	2	3
p381/2IFN'	P <sub>VIII</sub>	2	3,2
p280/2IFN	(P <sub>trp</sub> ) <sub>2</sub>	2	6,8
p280/2IFN'	(P <sub>trp</sub> ) <sub>2</sub>	2	7,2

\* Количество интерферона, синтезируемого в клетках *E. coli* SG20050 с плазмидой pIF6/8 [5,6], принято за единицу.

нов [5, 6] в сочетании с конструированием гомополицистронов, имеющих сопряженную систему трансляции всех генов в таком искусственном опероне, позволяет уже при дупликации клонированного гена более чем в 2 раза увеличить выход его продукта. Следует отметить, что такого эффекта усиления не наблюдается при использовании метода клонирования tandemных дупликаций гена в составе единой гомополицистронной мРНК в отсутствие сопряжения трансляции цистронов [3].

В заключение следует указать на то, что предлагаемый способ экспрессии генов открывает возможности для создания высокоеффективных производителей различных генов, организованных в единый полицистрон, имеющий сопряженную систему трансляции между цистронами. В таких генных «фабриках» для гарантированной экспрессии целевых генов можно использовать в качестве первого цистрона, определяющего эффективность трансляции последующих генов, регуляторные сигналы трансляции, входящие в описанные нами ранее векторы pDSpv1 [5], pDS381 и pDS280 [6]. Кроме того, такими векторами могут быть плазмиды p1F6/8 [5], p381IFN и p280IFN [6], клонирование в которых можно производить по сайтам рестрикции, имеющимся в структурной части синтетического гена *i/n-α2* (например, *PstI* или *XbaI*).

### Экспериментальная часть

Экспериментальные подробности, касающиеся использованных в работе штаммов *E. coli*, плазмид, ферментов, антибиотиков и других реактивов, а также условия конструирования рекомбинантных плазмид, выделения плазмидных ДНК, электрофоретического разделения фрагментов ДНК в ПЛАГ и выделения их из геля, трансформации клеток *E. coli*, выращивания плазмидосодержащих клеток и анализа пуклевидной последовательности ДНК, изложены в предыдущих сообщениях [6, 19].

Следующие фрагменты и векторные части были использованы при конструировании плазмид: p95IFN – *PstI*-фрагмент ДНК pLCIF(Plac) [7], содержащий начало гена *bla*, промотор *P<sub>lac</sub>* и 5'-концевую часть синтетического гена *i/n-α2*, *PstI/EcoRI*-адаптер (структура адаптера приведена на рис. 1) в виде двух комплементарных олигодезоксикулеотидов длиной 30 и 38 нуклеотидных остатков (далее в тексте используется обозначение адаптер А) и *PstI/EcoRI*-векторная часть плазмида pDS1<sup>2f</sup> [8]. p95/2IFN – фрагмент и адаптер А были те же, что и при получении плазмиды p95IFN, а в качестве вектора использовали большой *PstI/EcoRI*-фрагмент ДНК p95IFN. p381/2IFN – *PstI*-фрагмент ДНК pIF6/8 [5], содержащий начало гена *bla*, промотор P<sub>VIII</sub> с укороченной частью гена VIII и 5'-концевую часть гена *i/n-α2* вместе с синтетическим участком TSD, адаптер А и *PstI/EcoRI*-векторную часть ДНК p95IFN. p381/2IFN'-фрагмент и адаптер А были те же, что и при конструировании плазмиды p381/2IFN, а в качестве вектора использовали большой *PstI/EcoRI*-фрагмент ДНК p381IFN [6]. p280/2IFN и p280/2IFN' – *PstI/EcoRI*-фрагмент ДНК pDS280 [6], содержащий начало гена *bla*, tandem промоторов P<sub>trp</sub> и часть гена лизергового пептида L триптофанового оперона *E. coli*, встраивали в *PstI/EcoRI*-векторные части ДНК p381/2IFN и p381/2IFN' соответственно.

Для определения уровня синтеза интерферона в плазмидосодержащих клетках *E. coli* отдельные колонии выращивали в среде LB в присутствии ампициллина (50 мкг/мл) до плотности ~10<sup>9</sup> клеток на 1 мл клеточной суспензии. Биомассу из 0,5 мл клеточной суспензии собирали центрифугированием (10 000 об/мин, 4°С, 2 мин), подсушивали и реусспендировали в 100 мл буфера для нанесения (5% глицерина, 3% додецилсульфат натрия, 2% 2-меркаптоэтанол, 0,02% бромфеноловый синий). Пробу выдерживали 10 мин при 100°С и по 2 или 5 мкл налиняли на 12,5%

ПААГ (отношение метиленбисакриламида к акриламиду 1:30). Электрофорез и окраску геля проводили как указано в работе [19]. Процентное содержание интерферона в лизатах определяли путем сканирования соответствующих дорожек геля на лазерном денситометре Ultroncan XL (LKB, Швеция). Установлено, что в клетках *E. coli* плазиды обеспечивали следующие уровни интерферона, %: pIF6/8 – 9,6; p381IFN – 10,2; p381/2IFN – 30,7; p381/2IFN' – 32; p280/2IFN – 68,8; p280/2IFN' – 72.

## ЛИТЕРАТУРА

- Лобашев М. Е. Генетика. Л.: Изд-во ЛГУ, 1967. С. 168–176.
- Schoner B. E., Hsing H. M., Belagaje R. M., Mayne N. G., Schoner R. G. // Proc. Nat. Acad. Sci. USA. 1984. V. 81. № 17. P. 5403–5407.
- Lee N., Cozzitor J., Wainwright N., Testa D. // Nucl. Acids Res. 1984. V. 12. № 17. P. 6797–6812.
- Schümperli D., McKenney K., Sobieski D. A., Rosenberg M. // Cell. 1982. V. 30. № 3. P. 865–871.
- Гилева И. П., Мизенко Г. А., Серпинский О. И., Аммосов А. Д., Кравченко В. В. // Докл. АН СССР. 1986. Т. 288. № 3. С. 734–737.
- Кравченко В. В., Гилева И. П., Шамин В. В., Куличков В. А., Добрынин В. Н., Филиппов С. А., Чувило С. А., Коробко В. Г. // Биоорганическая химия. 1987. Т. 13. № 9. С. 1176–1185.
- Колосов М. Н., Коробко В. Г., Добрынин В. Н., Северцова И. В., Чувило С. А., Быстров Н. С., Берлин Ю. А., Каюшин А. Л., Буткус В. В., Полякова Н. А., Болдырева Е. Ф., Сандахчиев Л. С., Попов С. Г., Шубина Т. Н., Кравченко В. В., Серпинский О. И., Ямицков В. С., Беликов С. И., Синяков А. Н., Сиволобова Г. Ф. Способ получения искусственного гена интерферона  $\alpha 2$  человека и способ получения полипептида с активностью интерферона микробиологическим синтезом. А. с. 1092176 СССР // Б. И. 1984. № 18.
- Stueber D., Bujard H. // EMBO J. 1982. V. 1. № 11. P. 1399–1404.
- Wezenbeck P., Hulsebos T., Schoenmakers J. // Gene. 1980. V. 11. № 1–2. P. 129–148.
- Yanofsky C., Platt T., Crawford I. P., Nichols B. P., Christie G. E., Horowitz H., Vancleemput M. // Nucl. Acids Res. 1981. V. 9. № 24. P. 6647–6668.
- De Boer H. A., Comstock L. J., Yansura D. G., Heyneker H. L. // Promoters (structure and function) / Eds Rodrigues R. L., Chamberlin M. J. Praeger, 1983. P. 462–481.
- Oppenheim D. S., Yanofsky C. // Genetics. 1980. V. 95. № 4. P. 785–795.
- Baughman G., Nomura M. // Cell. 1983. V. 34. № 3. P. 979–988.
- Спирин А. С. // Структура рибосом и биосинтез белка. Чущино, 1984. С. 279–307.
- Valenzuela D., Weber H., Weissmann C. // Nature. 1985. V. 313. № 6004. P. 698–700.
- Машко С. В., Лапидус А. Л., Лебедева М. И., Подковырова С. М., Плотникова Т. Г., Козлов Ю. И., Ребентиш Б. А., Костров С. В., Рыжавская А. С., Стронгин А. Я., Свердлов Е. Д., Дебабов В. Г. // Докл. АН СССР. 1984. Т. 278. № 6. С. 1491–1496.
- Remaut E., Stanssens P., Fiers W. // Nucl. Acids Res. 1983. V. 11. № 14. P. 4677–4688.
- Simons G., Remaut E., Allet B., Devas R., Fiers W. // Gene. 1984. V. 28. № 1. P. 55–64.
- Кравченко В. В., Ямицков В. Ф., Плетнев А. Г. // Биоорганическая химия. 1985. Т. 11. № 4. С. 523–533.

Поступила в редакцию  
31.XII.1986

## CONSTRUCTION OF A TANDEM OF ARTIFICIAL GENES ENCODING HUMAN LEUKOCYTE INTERFERON AND ITS EXPRESSION AS A PART OF POLYCISTRONIC TEMPLATE WITH COUPLED TRANSLATION

KRAVCHENKO V. V., GUILEVA I. P., SHAMIN V. V., KULICHKOV V. A., DOBRYNIN V. N.\*<sup>\*</sup>, FILIPPOV S. A.\*<sup>\*</sup>, CHUVILO S. A.\*<sup>\*</sup>, KOROBKO V. G.\*<sup>\*</sup>

All-Union Research Institute of Molecular Biology, Koltsovo,  
Novosibirsk Region:

\*M. M. Shemyakin Institute of Bioorganic Chemistry, Academy  
of Sciences of the USSR, Moscow

Using a chemically synthesised adapter, the coding part of an artificial gene for human leukocyte  $\alpha 2$  interferon (*ifn- $\alpha 2$* ) has been duplicated. The adapter contained a termination signal of the first gene (TAA) within the Shine – Dalgarno sequence of the second gene (TAAGGA), distance between the terminating codon and starting codon of the second gene being 11 nucleotides. In another case this distance was 69 nucleotides, with the same SD sequence. The expression of the tandems as a part of polycistrons has been studied under control of promoters  $P_{lac}$ ,  $(P_{try})_2$  of *E. coli*, and  $P_{VIII}$  of M13 phage. It was found that tandems of *ifn- $\alpha 2$*  genes in polycistronic structures *trp L-ifn-ifn* and *IX–VIII-ifn-ifn* under control of promoters  $(P_{try})_2$  and  $P_{VIII}$ , respectively, provided high level of the interferon biosynthesis, thus differing from the tandem under  $P_{lac}$  promoter control, which had only *ifn-ifn* translation coupling.